

مقایسه روش گرادیان افقی سیگنال تحلیلی و روش ترکیبی سیگنال تحلیلی- واهمامیخت اویلر با استفاده از داده‌های مصنوعی در تفسیر ساختارهای زمین‌شناسی با خاصیت مغناطیسی

مجتبی رشوند^۱ و بهروز اسکوئی^{۲*}

^۱دانشجوی کارشناسی ارشد، گروه فیزیک زمین، موسسه زموفیزیک دانشگاه تهران، ایران

^۲استادیار، گروه فیزیک زمین، موسسه زموفیزیک دانشگاه تهران، ایران

(دریافت: ۹۱/۷/۱۰، پذیرش نهایی: ۹۱/۴/۱۳)

چکیده

این تحقیق به معرفی و مقایسه روش گرادیان افقی سیگنال تحلیلی و روش ترکیبی سیگنال تحلیلی- واهمامیخت اویلر برپایه روش سیگنال تحلیلی، در تفسیر داده‌های مغناطیسی می‌پردازد. هر دو روش بدون نیاز به اطلاعات اولیه از پارامترهای چشمی ایجاد بی‌هنجری مغناطیسی، برآورد مناسبی از موقعیت و شکل چشممه مورد بررسی بهدست می‌دهند. روش گرادیان افقی سیگنال تحلیلی روشی خودکار در برآورده‌هم‌زمان عمق، مکان افقی و شکل چشممه ایجاد بی‌هنجری مغناطیسی است که در این روش با ترکیب معادلات سیگنال تحلیلی، اویلر، سیگنال تحلیلی ارتقاء یافته و گرادیان افقی سیگنال تحلیلی، معادله خطی در تعیین پارامترهای چشممه دویعده عرضه می‌شود. مهم‌ترین مشخصه‌های این روش استفاده از مشتق‌های مراتب پایین مغناطیسی و کارایی آن در تفسیر داده‌ها با کیفیت پایین است. روابط اصلی در روش ترکیبی سیگنال تحلیلی- واهمامیخت اویلر با ترکیب معادلات سیگنال تحلیلی و واهمامیخت اویلر و با قرار دادن مشتق‌های مناسب معادله همگن اویلر در رابطه سیگنال تحلیلی داده می‌شوند. در این تحقیق مسئله دقت و کارایی این دو روش (با توجه به شباهت آنها) در تفسیر بی‌هنجری‌های مغناطیسی ناشی از ساختارهای زمین‌شناسی با خاصیت مغناطیسی مورد بررسی قرار گرفته است. بهمنظور مقایسه دقت و کارایی هریک از روش‌ها نتایج حاصل از به کارگیری آنها روی داده‌های مصنوعی حاصل از مدل‌سازی به روش پیش‌رو و آلووده به نو福ه برای ساختارهای متفاوت در اعماق متفاوت نشان داده شده است. نتایج بهدست آمده خطای کمتر روش گرادیان افقی سیگنال تحلیلی در برآورده‌شکل و مکان افقی و کارایی بیشتر روش ترکیبی سیگنال تحلیلی- واهمامیخت اویلر را در تعیین عمق چشممه ایجاد بی‌هنجری مغناطیسی نشان می‌دهد.

واژه‌های کلیدی: بی‌هنجری مغناطیسی، سیگنال تحلیلی، مشتق پایین مغناطیسی، واهمامیخت اویلر

A comparison between the horizontal gradient of analytic signal method and the analytic signal-Euler deconvolution combined method using synthetic data in interpretation of magnetic geological structures

Rashvand, M.¹ and Oskooi, B.²

¹M.Sc. Student of Geophysics, Earth Physics Department, Institute of Geophysics, University of Tehran, Iran

²Assistant Professor, Earth Physics Department, Institute of Geophysics, University of Tehran, Iran

(Received: 02 Oct 2010, Accepted: 03 Jul 2012)

Abstract

The analytic signal method is a semiautomatic method for estimating the location of causative bodies in magnetic and gravity methods. The application of analytic signal for interpretation of two dimensional (2D) structures was introduced by Nabighian (1972). The analytic signal is defined as a complex function in which the real and imaginary parts are a pair of Hilbert transforms. In other words, the analytic signal is a combination of

horizontal and vertical gradients of potential field.

Analytic signal is a symmetric function with amplitude sensitive to parameters of the source. In case of 2D structures, the amplitude of the analytic signal is independent of the directional parameters such as inclination, declination and strike angle (Nabighian, 1972; Atchuta et al., 1981; Roest et al., 1992).

The depth of 2D structures can be estimated using the width of the analytic signal or the ratio of the analytic signal to its higher derivatives (Hsu et al., 1996; Roest et al., 1992). Source's parameters of a dyke such as width, dip, strike, magnetization and depth can be estimated by analytic signal method (Bastani & Pedersen, 2001). The n^{th} -order enhanced analytic signal is defined as the analytic signal of the n^{th} -order vertical derivative of the potential field.

An automated method for estimating the depth, horizontal location and shape of 2D magnetic structures is the horizontal gradient of analytic signal method. This method is capable of interpreting low quality data because of using the first and second order derivatives of potential field in the main equations. The method of analytic signal estimates the horizontal location of the source by approximating the maximum amplitude of the signal; hence noise can affect the estimations. On the other hand, by using the horizontal gradient of analytic signal expressions, all of the source's parameters could be approximated simultaneously.

In this method, equations of the analytic signal, Euler enhanced analytic signal and horizontal gradient of analytic signal are combined to derive a linear equation. Using the first order analytic signal, horizontal gradient of analytic signal and linear inversion method, the depth and horizontal location of 2D magnetic bodies are obtained. The location estimation is independent of the shape of the causative bodies. The causative body's geometry is estimated as a structural index by applying the least squares method.

Data selection for solving the equations or width of windows is based on data quality. The optimum size is defined somehow to detect a signal specific anomaly and also variations of the anomaly in one window. In this study, in order to solve the equations of the horizontal gradient of analytic signal method, the data greater than twenty percent of maximum amplitude of the analytic signal were used.

The analytic signal-Euler deconvolution combined method is an automated method to estimate depth and shape of the sources. This method is used to interpret 2D & 3D magnetic and gravity data. After substituting the appropriate derivatives of the Euler's homogeneous equation in the equation of the analytic signal, major independent equations which are used to estimate the depth and shape of causative bodies, are derived. The horizontal location of causative bodies is estimated by Euler method or locating the maximum amplitude of the analytic signal.

In this study, the accuracy and efficiency of each of the mentioned methods in interpretation of magnetic anomalies are evaluated. Methods were tested for different synthetic datasets provided by forward modeling. 2D magnetic models placed at different depths and random noise added for some models. Derivatives were calculated in frequency domain by using Fourier transform techniques. In this technique, bell-shapedness effect appears at the edges of the profiles. This effect could be corrected by linearly expanding the profiles. Upward continuation filter was applied on some synthetic data to decrease the noise level.

In this paper, the applicability of the horizontal gradient of analytic signal method and the analytic signal-Euler combined method were tested. Both methods estimate the parameters of the causative bodies without any prior information. In both methods, there is not any explicit dependence on directional parameters (e.g. magnetization) in the main equations; hence, as the results show, estimations were not affected by remanent

magnetization. The results also show accurate estimations of the horizontal gradient of analytic signal method for shape and horizontal location and efficient estimations of the analytic signal-Euler deconvolution combined method for depth.

Key words: Analytic signal, Euler deconvolution, Magnetic field derivative, Magnetic anomaly

۱ مقدمه

می شوند. سالم (۲۰۰۵) با ترکیب مشتق‌های معادله اویلر، معادله سیگنال تحلیلی و معادله سیگنال تحلیلی ارتقاء یافته، روش گرادیان افقی سیگنال تحلیلی را معرفی کرد که در این روش عمق، مکان افقی و شاخص ساختاری چشمی به صورت کاملاً خودکار و همزمان تعیین می‌شوند.

۲ مبانی نظری

نبیقیان (۱۹۷۲) روشن ساخت که سیگنال تحلیلی در حالت دو بعدی تابعی موهومی و قسمت موهومی آن تبدیل هیلبرت قسمت حقیقی آن است:

$$A(x) = f(x) + if_H(x) \quad (1)$$

سیگنال تحلیلی و دامنه سیگنال تحلیلی میدان اندازه‌گیری شده در حالت دو بعدی به ترتیب به صورت روابط (۲) و (۳) تعریف می‌شوند (بلکلی، ۱۹۹۵):

$$A(x) = \frac{\partial T}{\partial x} + i \frac{\partial T}{\partial z} \quad (2)$$

$$|A(x)| = \sqrt{\left(\frac{\partial T}{\partial x}\right)^2 + \left(\frac{\partial T}{\partial z}\right)^2} \quad (3)$$

و $\frac{\partial T}{\partial z}$ به ترتیب مشتق افقی و قائم میدان هستند. سیگنال تحلیلی ارتقاء یافته مرتبه $n^{\text{ام}}$ عبارت است از سیگنال تحلیلی مشتق قائم مرتبه $n^{\text{ام}}$ میدان که به صورت رابطه (۴) و دامنه آن به صورت رابطه (۵) معرفی می‌شوند (هسو و همکاران، ۱۹۹۶):

$$A_n(x) = \frac{\partial T_n^z}{\partial x} \hat{i} + \frac{\partial T_n^z}{\partial z} \hat{k} \quad (4)$$

$$|A_n(x)| = \sqrt{\left(\frac{\partial T_n^z}{\partial x}\right)^2 + \left(\frac{\partial T_n^z}{\partial z}\right)^2} \quad (5)$$

روش سیگنال تحلیلی، روشی نیمه‌خودکار به منظور تعیین پارامترهای چشمی (عمق، مکان افقی و شکل) ایجاد بی‌亨جارتی‌های میدان پتانسیل است. اولین بار نیقیان (۱۹۷۲) از روش سیگنال تحلیلی در تفسیر ساختارهای دو بعدی استفاده کرد. تابع سیگنال تحلیلی، تابعی زوج و متقابن است و پارامترهای چشمی روی بزرگی دامنه سیگنال تحلیلی تأثیرگذارند. سیگنال تحلیلی برای چشمی‌های دو بعدی کاملاً مستقل از کمیت‌های جهت‌دار مانند زاویه میل و انحراف میدان، مغناطیس‌شوندگی، زوایه شیب و امتداد است (نبیقیان، ۱۹۷۲؛ اچوتا و همکاران، ۱۹۸۱؛ روئست و همکاران، ۱۹۹۲). از این روش می‌توان در برآورد پارامترهای دایک شامل عمق، شیب، امتداد، پهنا و مغناطیس‌شوندگی استفاده کرد (bastani و پدرسون، ۲۰۰۱).

روئست و همکاران (۱۹۹۲) برای تعیین عمق مدل‌های دو بعدی، از پهنه‌ای سیگنال تحلیلی استفاده کرد. استفاده از نسبت سیگنال تحلیلی به مشتق‌های بالاتر آن با فرض معین بودن شکل تقریبی چشمی، روش دیگری در تعیین عمق ساختارهای دو بعدی است (هسو و همکاران، ۱۹۹۶) که در این حالت برآورد صحیح عمق مشروط به فرض صحیح شکل مدل است.

سالم و راوات (۲۰۰۳) با جای‌گذاری مشتق‌های معادله اویلر در معادله سیگنال تحلیلی، روش ترکیبی سیگنال تحلیلی-واهمامیخت اویلر (AN-EUL) را معرفی کردند. در این روش مکان افقی با استفاده از مکان قرارگیری بیشینه سیگنال تحلیلی و عمق و شاخص ساختاری با استفاده از روابط مربوط کاملاً مستقل، محاسبه

تامپسون (۱۹۸۲) معادله اویلر را به شکل روابط (۸) و (۹) نشان داد که B میدان منطقه‌ای و n شاخص ساختاری است. ضریب شکل q در رابطه (۷) مشابه با شاخص ساختاری n در معادله اویلر است. در جدول ۱ مقادیر شاخص ساختاری و ضریب شکل برای چشممه‌های متفاوت دو بعدی نشان داده شده است.

$$(x - x_0) \frac{\partial^2 T}{\partial x^2} + (z - z_0) \frac{\partial^2 T}{\partial z \partial x} = -(n+1) \frac{\partial T}{\partial x} \quad (8)$$

$$(x - x_0) \frac{\partial^2 T}{\partial x \partial z} + (z - z_0) \frac{\partial^2 T}{\partial z^2} = -(n+1) \frac{\partial T}{\partial z} \quad (9)$$

با ترکیب روابط (۸) و (۹)، در نظر گرفتن رابطه لاپلاس و رابطه (۵) می‌توان نوشت:

$$\begin{aligned} & [(x - x_0)^2 + (z - z_0)^2] (|A_1(x)|)^2 \\ &= (n+1)^2 (|A(x)|)^2 \end{aligned} \quad (10)$$

رابطه (۷) را می‌توان به صورت زیر بازنویسی کرد:

$$\begin{aligned} & [(x - x_0)^2 + (z - z_0)^2] \frac{\partial |A(x)|}{\partial x} \\ &= -(n+1)(x - x_0) |A(x)| \end{aligned} \quad (11)$$

و با ترکیب روابط (۱۰) و (۱۱) و در نظر گرفتن سطح اندازه‌گیری $z=0$ (روی سطح زمین)، رابطه خطی زیر داده می‌شود:

$$\begin{aligned} & \left(\sqrt{|A_1(x)|^2 - \left(\frac{\partial |A(x)|}{\partial x} \right)^2} \right) x \\ &= \left(\sqrt{|A_1(x)|^2 - \left(\frac{\partial |A(x)|}{\partial x} \right)^2} \right) x_0 - \left(\frac{\partial |A(x)|}{\partial x} \right) z_0 \end{aligned} \quad (12)$$

جدول ۱. مقادیر شاخص ساختاری و ضریب شکل برای چشممه‌های متفاوت دو بعدی.

نوع ساختار	شاخص ساختاری	ضریب شکل
سطح تماس	.	۰/۵
دایک	۱	۱
استوانه افقی	۲	۱/۵

در این روابط، $T_n^z = \frac{\partial^n T}{\partial z^n}$ ، مشتق قائم مرتبه n میدان است.

روش گرادیان افقی سیگنال تحلیلی، روشی کاملآ خودکار به منظور تعیین مکان افقی، عمق و شکل چشممه ایجاد بی‌亨جارتی‌های مغناطیسی و گرانی در تفسیر داده‌های نیم‌رخی (پروفیلی) است. از مهم‌ترین مزیت‌های این روش، استفاده از مشتق‌های اول و دوم میدان پتانسیل است که قابلیتِ اعمال آن روی داده‌های با کیفیت پایین را فراهم می‌آورد. از طرفی دیگر برخلاف روش سیگنال تحلیلی (که مکان افقی توسط بیشینه دامنه آن تعیین می‌شود و تأثیر نوافه‌ها سبب خطا در تعیین مکان افقی و عمق می‌شود) در این روش پارامترهای چشممه به صورت کاملآ خودکار و هم‌زمان تعیین می‌شود (رشوند، ۱۳۸۹). دامنه سیگنال تحلیلی ساختارهای زمین‌شناسی دو بعدی (سطح تماس، دایک و استوانه افقی) به صورت رابطه (۶) نمایش داده می‌شود (سالم، ۲۰۰۵):

$$|A(x)| = \frac{k}{[(x - x_0)^2 + (z - z_0)^2]^q} \quad (6)$$

که در آن، x_0 مکان، z_0 عمق، k ضریب بزرگی مرتبط با مغناطیسی‌شوندگی چشممه و q ضریب شکل چشممه است. با مشتق‌گیری از رابطه (۶) می‌توان رابطه بین سیگنال تحلیلی و گرادیان افقی آن را به صورت رابطه (۷) بیان کرد (سالم، ۲۰۰۵):

$$\begin{aligned} & [(x - x_0)^2 + (z - z_0)^2] \frac{\partial |A(x)|}{\partial x} \\ &= -2q(x - x_0) |A(x)| \end{aligned} \quad (7)$$

$x = x_0, z = 0$ (تصویر مکان جسم روی سطح یا مکان افقی) می‌توان نوشت:

$$z_0 \left(\frac{\partial^2 T}{\partial x \partial z} \right)_{x=x_0} \quad (1-14)$$

$$= (n+1) \left(\frac{\partial T}{\partial x} \right)_{x=x_0} \quad (2-14)$$

با محاسبه جذر مجموع مربعات روابط (۱-۱۴) و (۲-۱۴) و استفاده از رابطه (۵)، رابطه (۱۵) به صورت زیر بیان می‌شود (سالم و راوات، ۲۰۰۳):

$$z_0 |AAS_1|_{x=x_0} = (n+1) |AAS_0|_{x=x_0} \quad (15)$$

که در آن، $|AAS_0|$ و $|AAS_1|$ به ترتیب دامنه سیگنال تحلیلی و دامنه سیگنال تحلیلی مشتق مرتبه اول قائم بی‌亨جاري میدان پتانسیل است. به روش مشابه، در طرح روابط مستقل برای محاسبه عمق و شاخص ساختاری پس از مشتق‌گیری از رابطه اویلر (رابطه ۱۶) نسبت به z مراحل فوق تکرار و رابطه (۱۷) بیان می‌شود (جزئیات بیشتر: بنی‌عامريان و اسکوبی، ۱۳۹۰)

$$x_0 \frac{\partial T}{\partial x} + z_0 \frac{\partial T}{\partial z} + nB = x \frac{\partial T}{\partial x} + z \frac{\partial T}{\partial z} + nT \quad (16)$$

$$(n+2) |AAS_1|_{x=x_0} = z_0 |AAS_2|_{x=x_0} \quad (17)$$

$|AAS_2|$ دامنه سیگنال تحلیلی مشتق مرتبه دوم قائم بی‌亨جاري میدان پتانسیل است. روابط کلی برآورد عمق و شکل چشمی با جایگذاری معادله (۱۷) در معادله (۱۵) معرفی می‌شوند (سالم و راوات، ۲۰۰۳)

$$n = \left(\frac{2 |AAS_1|^2 - |AAS_2| |AAS_0|}{|AAS_2| |AAS_0| - |AAS_1|^2} \right)_{x=x_0} \quad (18)$$

رابطه (۱۲) مکان و عمق، (x_0, z_0) ، چشمی ایجاد بی‌亨جاري را به صورت مستقل از شکل چشمی و با استفاده از سیگنال تحلیلی مرتبه اول، $|A_1(x)|$ ، گرادیان افقی سیگنال تحلیلی، $\frac{\partial |A(x)|}{\partial x}$ و روش معکوس خطی به دست می‌دهد (سالم، ۲۰۰۵).

انتخاب مناسب تعداد داده‌ها یا طول مناسب پنجره‌ها برای حل معادلات، بر پایه کیفیت داده‌ها استوار است. طول بهینه پنجره‌ها حالتی است که تعداد داده‌های انتخاب شده به حدی کم باشد که بتوان سیگنال بی‌亨جاري مشخصی را شناسایی کرد و تا حدی بزرگ باشد که بتوان تغییرات کافی از بی‌亨جاري موردنظر را در طول یک پنجره مشاهده کرد. در این تحقیق به منظور حل روابط روش گرادیان افقی سیگنال تحلیلی از داده‌هایی با حداقل بزرگی در حدود ۲۰ درصد مقدار بیشینه دامنه سیگنال تحلیلی استفاده شده است.

تعیین شکل بی‌亨جاري با استفاده از رابطه (۱۱) و مفهوم کمترین مربعات به صورت رابطه (۱۳) داده می‌شود (سالم، ۲۰۰۵).

$$n =$$

$$\frac{\sum_{i=1}^N \left[\frac{\partial |A(x_i)|}{\partial x} \right] \left[\frac{(x_0^c - x_i)}{(x_i - x_0^c)^2 + (z_0^c)^2} \right]}{\sum_{i=1}^N \left[\frac{x_0^c - x_i}{(x_i - x_0^c)^2 + (z_0^c)^2} \right]} - 1 \quad (13)$$

در این رابطه N تعداد داده‌های انتخاب شده، x_0^c ، مکان افقی برآورد شده و z_0^c عمق برآورد شده است.

روش ترکیبی سیگنال تحلیلی - واهمامیخت اویلر، روشی خودکار برای تعیین عمق و شکل چشمی ایجاد بی‌亨جاري‌های مغناطیسی و گرانی در تفسیر داده‌های نیمرخی (دوبعدی) و شبکه‌ای (سه‌بعدی) است که روابط اصلی آن با جایگذاری مشتق‌های معادله اویلر در معادله سیگنال تحلیلی معرفی می‌شود. با مشتق‌گیری از معادله (۸) نسبت به z و در نظر گرفتن مقادیر

بهمنظور جلوگیری از اثر گیس (پدیده رینگی شدن ابتدا و انتهای یک سیگنال به دلیل قطع ناگهانی) هنگامِ اعمال تبدیل فوریه، فیلتر تپر (Taper) خطی (استفاده از گسترش خطی نیم‌رخ در هنگام مشتق‌گیری‌ها بهمنظور حذف اثر لبه‌های نیم‌رخ) استفاده شده است. این فیلتر با استفاده از شبیب به دست آمده از نمودار بی‌هنجری میدان کل، نقاط انتهایی نیم‌رخ را تا طول معین که معمولاً در صدی از طول کل نیم‌رخ است (معمولًا ۱۰٪)، گسترش می‌دهد و پس از محاسبات، قسمت گسترش یافته حذف می‌شود.

بهمنظور کاهش اثر نویه‌های حاصل از فرایند مشتق‌گیری (مشتق‌گیری فیلتری بالاگذر است) که دامنه نویه‌ها را به شدت افزایش می‌دهد، از ادامه فراسو داده‌ها به سطحی بالاتر (ادامه فراسو فیلتری پایین‌گذر است)، استفاده می‌شود. در روش ترکیبی سیگنال تحلیلی-واهمامیخت اویلر صورت گرفته است (بنی‌عامریان، ۱۳۸۸). برای بررسی هریک از روش‌ها، نتایج حاصل از اعمال آنها روی مدل‌های مصنوعی (جدول ۲) تولید شده، در جدول‌های ۳، ۴، ۵ و ۶ نشان داده شده است.

$$z_0 = \left(\frac{|AAS_1| |AAS_0|}{|AAS_2| |AAS_0| - |AAS_1|^2} \right)_{x=x_0} \quad (19)$$

در این روش بهمنظور تعیین مکان افقی ساختارهای دوی بعدی می‌توان از مکان بیشینه دامنه سیگنال تحلیلی و یا روش اویلر (با فرض شاخص ساختاری دلخواه) استفاده کرد.

۳ مقایسه دقت و کارایی روش گرادیان افقی سیگنال تحلیلی با روش ترکیبی سیگنال تحلیلی-واهمامیخت اویلر

بهمنظور مقایسه دقت و کارایی روش گرادیان افقی سیگنال تحلیلی با روش ترکیبی سیگنال تحلیلی-واهمامیخت اویلر، نتایج حاصل از بهکارگیری این روش‌ها روی چهار سری داده مصنوعی بدون نویه و دو سری داده مصنوعی تولید شده همراه با نویه تصادفی حاصل از مدل‌سازی به روش پیش‌رو نشان داده شده است.

محاسبات تمامی مشتق‌های میدان در فضای بسامد و با استفاده از شیوه‌های تبدیل فوریه صورت گرفته است.

جدول ۲. پارامترهای مدل‌های مصنوعی بدون نویه.

پارامترهای مدل	مدل دایک ۱	مدل دایک ۲	مدل استوانه ۱	مدل استوانه ۲
موقعیت افقی نسبت به مبدأ (کیلومتر)	۱۰۰	۱۰۰	۱۰۰	۱۰۰
عمق تا سطح (کیلومتر)	۶	۸	۱۵	۱۰
سطح اندازه‌گیری	روی زمین	روی زمین	روی زمین	روی زمین
مغناطیس‌شوندگی (آمپر بر متر)	القایی و بازماند، ۱۰	القایی	القایی	القایی و بازماند
گشتاور مغناطیسی در واحد طول	-	-	۲۰	۱۰
ضخامت (کیلومتر)	۲	۳	-	-
زاویه شبیب	۴۵	۹۰	-	-
زاویه میل میدان زمین	۴۵	-۵۰	۵۰	۸۰
زاویه انحراف میدان زمین	۲۰	۲۰	۲۰	۴۰
زاویه میل مغناطیس‌شوندگی کل	۴۵	۴۰	۵۰	۲۰
زاویه انحراف مغناطیس‌شوندگی کل	۲۰	۳۰	۲۰	۳۰

جدول ۳. نتایج حاصل از اعمال روش گرادیان سیگنال تحلیلی و روش ترکیبی سیگنال تحلیلی- واهمامیخت اویلر برای مدل دایک ۱.

کمیت‌های محاسبه شده برای مدل دایک ۱	نتایج بدست آمده از روش ترکیبی سیگنال تحلیلی - واهمامیخت (بنی‌عمریان، ۱۳۸۸)	نتایج بدست آمده از روش گرادیان افقی سیگنال تحلیلی
عمق (کیلومتر)	۶/۰۲	۶/۰۹
شاخص ساختاری	۱/۰۱	۱/۰۱
مکان افقی (کیلومتر)	۹۷/۲۸	۱۰۰/۹۸
درصد خطای برآورده عمق	۰/۳۳	۱/۵
درصد خطای برآورده شاخص ساختاری	۱	۱
درصد خطای برآورده مکان افقی	۲/۷۷	۰/۹۸
میانگین درصد خطای	۱/۳۵	۱/۱۶

میدان، دامنه سیگنال‌های تحلیلی و دامنه گرادیان سیگنال تحلیلی را برای مدل دایک مورد نظر نشان می‌دهد. شکل ۳ بی‌هنگاری میدان کل ناشی از مدل استوانه افقی ۳ و شکل ۴ بی‌هنگاری کل حاصل از این مدل را پس از ادامه فراسو به ارتفاع ۵ کیلومتر، مشتق افقی میدان، مشتق قائم میدان، دامنه سیگنال‌های تحلیلی، و دامنه گرادیان سیگنال تحلیلی را برای مدل استوانه افقی مورد نظر نشان می‌دهد.

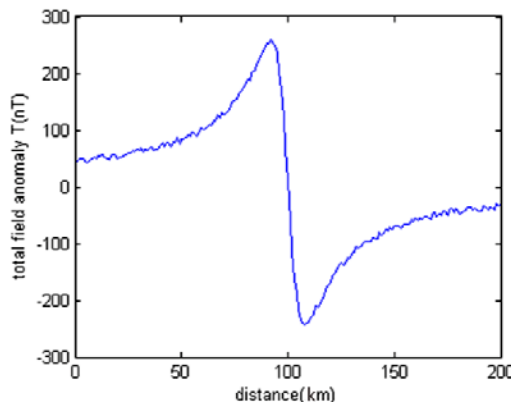
به‌سبب نزدیکی داده‌های تولید شده به داده‌های واقعی، ۵ درصد نوفه تصادفی به دو سری از داده‌های تولید شده (مدل دایک ۳ و استوانه ۳ با پارامترهای جدول ۷) اضافه شده است و نتایج حاصل از اعمالها در جداول ۸ و ۹ نشان داده شده است. شکل ۱ بی‌هنگاری میدان کل ناشی از مدل دایک ۳ و شکل ۲ بی‌هنگاری میدان کل حاصل از این مدل را پس از ادامه فراسو به ارتفاع ۴ کیلومتر، مشتق افقی میدان، مشتق قائم

جدول ۴. نتایج حاصل از اعمال روش گرادیان سیگنال تحلیلی و روش ترکیبی سیگنال تحلیلی- واهمامیخت اویلر برای مدل دایک ۲.

کمیت‌های محاسبه شده برای مدل دایک ۲	نتایج بدست آمده از روش ترکیبی سیگنال تحلیلی - واهمامیخت اویلر (بنی‌عمریان، ۱۳۸۸)	نتایج بدست آمده از روش گرادیان افقی سیگنال تحلیلی
عمق (کیلومتر)	۸/۰۷۹	۸/۱۴
شاخص ساختاری	۱/۰۲۹	۱/۰۱
مکان افقی (کیلومتر)	۱۰۳/۰۹	۱۰۰/۹۹
درصد خطای برآورده عمق	۰/۹۸	۱/۷۵
درصد خطای برآورده شاخص ساختاری	۲/۹	۱
درصد خطای برآورده مکان افقی	۳/۰۹	۰/۹۹
میانگین درصد خطای	۲/۳۲	۱/۲۴

جدول ۵. نتایج حاصل از اعمال روش گردیان سیگنال تحلیلی و روش ترکیبی سیگنال تحلیلی- واهمامیخت اویلر برای مدل استوانه ۱.

کمیت‌های محاسبه شده برای مدل استوانه ۱	نتایج به دست آمده از روش ترکیبی سیگنال تحلیلی- واهمامیخت اویلر (بنی عامریان، ۱۳۸۸)	نتایج به دست آمده از روش گردیان افقی سیگنال تحلیلی
عمق (کیلومتر)	۱۵/۰۰۹	۱۵/۴۱
شاخص ساختاری	۲/۰۲۲	۲/۰۲
مکان افقی (کیلومتر)	۹۹/۴	۱۰۰/۹۹
درصد خطای برآورده عمق	۰/۰۶	۲/۷۳
درصد خطای برآورده شاخص ساختاری	۱/۱	۱
درصد خطای برآورده مکان افقی	۰/۶	۰/۹۹
میانگین درصد خطا	۰/۵۸	۱/۵۷



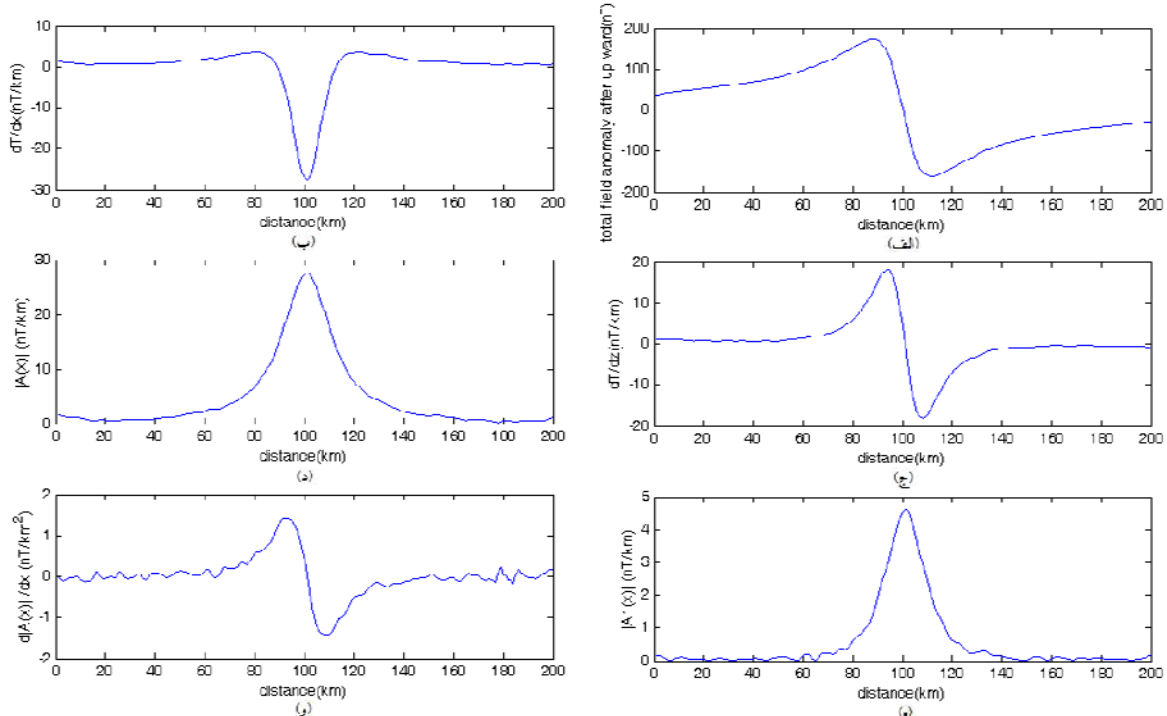
شکل ۱. بی‌هنچاری میدان کل ناشی از مدل دایک ۳ همراه با ۵ درصد نویه تصادفی.

جدول ۶. نتایج حاصل از اعمال روش گردیان سیگنال تحلیلی و روش ترکیبی سیگنال تحلیلی- واهمامیخت اویلر برای مدل استوانه ۲.

کمیت‌های محاسبه شده برای مدل استوانه ۲	نتایج به دست آمده از روش ترکیبی سیگنال تحلیلی- واهمامیخت اویلر (بنی عامریان، ۱۳۸۸)	نتایج به دست آمده از روش گردیان افقی سیگنال تحلیلی
عمق (کیلومتر)	۱۰/۰۰۱	۱۰/۱۲
شاخص ساختاری	۲	۲/۰۱
مکان افقی (کیلومتر)	۹۹/۴۵	۱۰۰/۹۹
درصد خطای برآورده عمق	۰/۰۱	۱/۲
درصد خطای برآورده شاخص ساختاری	۰	۰/۵
درصد خطای برآورده مکان افقی	۰/۰۵	۰/۹۹
میانگین درصد خطا	۰/۱۸	۰/۸۹

جدول ۷. پارامترهای مدل‌های مصنوعی همراه با نویه.

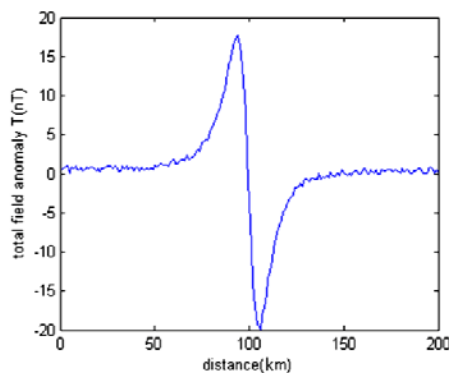
پارامترهای مدل	مدل استوانه ۳	مدل دایک ۳
موقعیت افقی نسبت به مبدأ (کیلومتر)	۱۰۰	۱۰۰
عمق تا سطح (کیلومتر)	۸	۱۰
سطح اندازه‌گیری	روی زمین	روی زمین
مغناطیس شوندگی (آمپر بر متر)	القایی، ۱۰	القایی و بازماند
گشتوار مغناطیسی در واحد طول	-	۱۵
ضخامت (کیلومتر)	۲	-
زاویه شبیب	۹۰	-
زاویه میل میدان زمین	۴۵	۵۰
زاویه انحراف میدان زمین	۰	۲۰
زاویه میل مغناطیس شوندگی کل	۴۵	۳۰
زاویه انحراف مغناطیس شوندگی کل	۰	۱۰
میزان نویه اضافه شده	%۵	%۵ تصادفی



شکل ۲. (الف) بی‌هنجاری میدان کل پس از ادامه فراسو به ارتفاع ۴ کیلومتر، (ب) مشتق افقی میدان، (ج) مشتق قائم میدان، (د) و (ه) دامنه سیگنال‌های تحلیلی و (و) دامنه گرادیان سیگنال تحلیلی برای مدل دایک ۳ همراه با ۵ درصد نویه تصادفی.

جدول ۸. نتایج حاصل از اعمال روش گرادیان سیگنال تحلیلی و روش ترکیبی سیگنال تحلیلی- و اهمامیخت اویلر برای مدل دایک ۳.

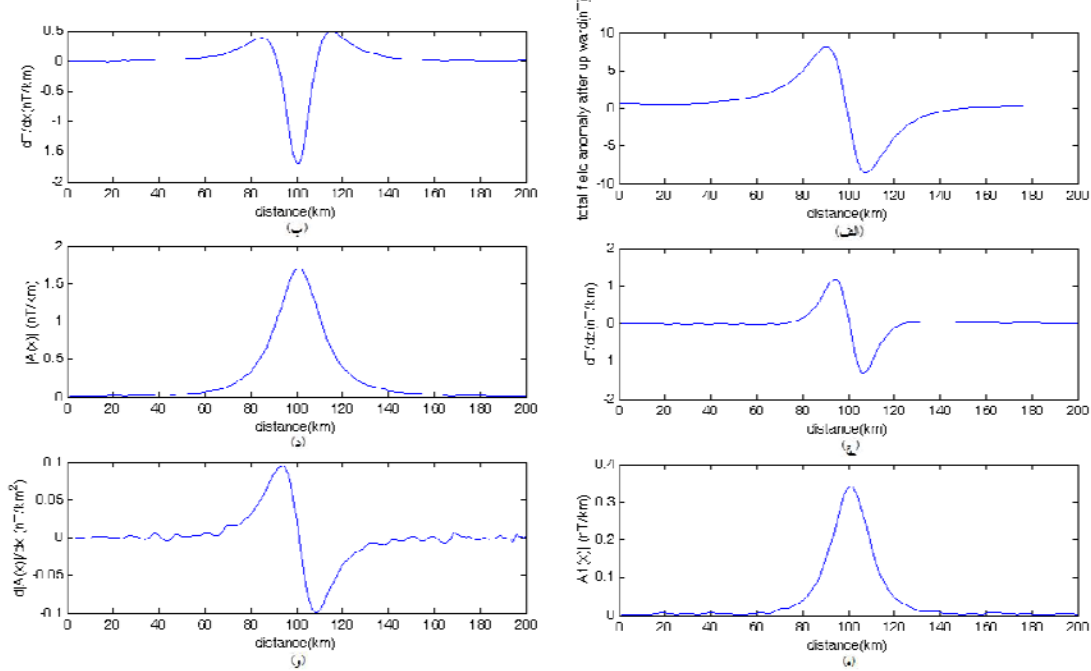
نمایج به دست آمده از روش ترکیبی سیگنال تحلیلی- و اهمامیخت اویلر (بنی عامریان، ۱۳۸۸)	نمایج به دست آمده از روش گرادیان افقی سیگنال تحلیلی
کمیت‌های محاسبه شده برای مدل دایک ۳ (سطح ادامه فراسو ۴)	
عمق (کیلومتر)	۸/۳۲
شاخص ساختاری	۱/۰۵
مکان افقی (کیلومتر)	۹۹/۰۳
درصد خطای برآورده عمق	۴
درصد خطای برآورده شاخص ساختاری	۵
درصد خطای برآورده مکان افقی	۰/۹۷
میانگین درصد خطای	۳/۳۲



شکل ۳. بی‌هنچاری میدان کل ناشی از مدل استوانه افقی ۳ همراه با ۵ درصد نویه تصادفی.

جدول ۹. نتایج حاصل از اعمال روش گرادیان سیگنال تحلیلی و روش ترکیبی سیگنال تحلیلی- و اهمامیخت اویلر برای مدل استوانه افقی ۳.

نمایج به دست آمده از روش ترکیبی سیگنال تحلیلی- و اهمامیخت اویلر (بنی عامریان، ۱۳۸۸)	نمایج به دست آمده از روش گرادیان افقی سیگنال تحلیلی
کمیت‌های محاسبه شده برای مدل استوانه افقی ۳ (سطح ادامه فراسو ۵)	
عمق (کیلومتر)	۹/۴۱
شاخص ساختاری	۱/۹۵
مکان افقی (کیلومتر)	۱۰۱/۰۶
درصد خطای برآورده عمق	۵/۹
درصد خطای برآورده شاخص ساختاری	۲/۵
درصد خطای برآورده مکان افقی	۱/۰۶
میانگین درصد خطای	۳/۱۵



شکل ۴. (الف) بی هنجاری میدان کل پس از ادامه فراسو به ارتفاع ۵ کیلومتر، (ب) مشتق افقی میدان، (ج) مشتق قائم میدان، (د) و (ه) دامنه سیگنال‌های تحلیلی و (و) دامنه گرادیان سیگنال تحلیلی برای مدل استوانه افقی ۳ همراه با ۵ درصد نویه تصادفی.

باقي مانده (به منزله عامل مزاحم) برای برآورد پارامترهای ساختارهای زمین‌شناسی دو بعدی با خاصیت مغناطیسی استفاده کرد.

نتایج حاصل از مدل‌های بدون نویه خطای کمتر روش ترکیبی سیگنال تحلیلی - واهمامیخت اویلر را در برآورد عمق ساختارهای مربوط نشان داد. درحالی که هر دو روش با دقیقی نسبتاً برابر، برآورده از شکل چشمی ایجاد بی هنجاری به دست دادند. در این مدل‌ها، روش گرادیان افقی سیگنال تحلیلی برآورده مناسبی از مکان افقی به دست داده است.

نتایج حاصل از اعمال روش‌ها روی مدل‌های آلوود به نویه، دقت نسبتاً مشابهی را برای هر دو روش در برآورد عمق چشمی ایجاد بی هنجاری نشان می‌دهد. در این مدل‌ها روش گرادیان افقی سیگنال تحلیلی با دقت بیشتری شکل چشمی ایجاد بی هنجاری را برآورد کرده است. به کارگیری مشتق‌های مرتبه سوم میدان در روش ترکیبی

۴ نتیجه‌گیری

در روش گرادیان افقی سیگنال تحلیلی عمق، مکان افقی و شاخص ساختاری چشمی ایجاد بی هنجاری به صورت همزمان برای داده‌های نیم رخی برآورده شود، در حالی که روش ترکیبی سیگنال تحلیلی - واهمامیخت اویلر برآورده از عمق و شاخص ساختاری را برای داده‌های نیم رخی و شبکه‌ای به دست می‌دهد و مکان افقی با استفاده از یک روش کمکی تعیین می‌شود.

با استفاده از هر دو روش بدون نیاز به اطلاعات اولیه از مشخصات چشمی، برآورده قابل قبولی از پارامترهای چشمی ایجاد بی هنجاری مغناطیسی عرضه شد. هیچ یک از روابط اساسی داده شده برای این دو روش وابستگی صریح به پارامترهای جهت‌دار همچون مغناطیس شوندگی ندارند. بنابراین، همان‌طور که نتایج مدل‌ها با مغناطیس باقی مانده (دایک ۲، استوانه ۲ و استوانه ۳) نشان داد، می‌توان از هریک از این دو روش با وجود مغناطیس

- تفسیر داده‌های مغناطیسی دو بعدی، مجله فیزیک زمین و فضا، ۳۷(۳)، ۸۷-۹۹.
- رشوند، م.، ۱۳۸۹، استفاده از مشتق‌های سیگنال تحلیلی در تفسیر داده‌های مغناطیسی، پایان‌نامه کارشناسی ارشد ژئوفیزیک، مؤسسه ژئوفیزیک دانشگاه تهران.
- Atchuta Rao, D., Ram Babu, H. V. and Sanker Narayan, P. V., 1981, Interpretation of magnetic anomalies due to dikes: The complex gradient method, *Geophysics*, **46**, 1572-1578.
- Bastani, M. and Pedersen, L. B., 2001, Automatic interpretation of magnetic dikes parameters using the analytic signal technique: *Geophysics*, **66**, 551-561.
- Blakely, R. J., 1995, Potential theory in gravity and magnetic applications, Cambridge Univ. Press.
- Hsu, S. K., Sibuet, J. C. and Shyu, C. T., 1996, High-resolution detection of geologic boundaries from potential anomalies: An enhanced analytic technique, *Geophysics*, **61**, 373-386.
- Nabighian, M. N., 1972, The analytic signal of two-dimensional magnetic bodies with polygonal cross-section: Its properties and use for automated anomaly interpretation, *Geophysics*, **37**, 507-517.
- Roest, A., Verhoef, J. and Pilkington, M., 1992, Magnetic interpretation using 3-D analytic signal, *Geophysics*, **57**, 116-125.
- Salem, A., 2005, Interpretation of magnetic data using analytic signal derivatives, *Geophysical Prospecting*, **53**, 75-82.
- Salem, A. and Ravat D., 2003, A combined analytic signal and Euler method (AN-EUL) for automatic interpretation of magnetic data, *Geophysics*, **68**, 1952-1961.
- Thompson, D. T., 1982, EULDPH- a new technique for making computer-assisted depth estimates from magnetic data, *Geophysics*, **47**, 31-37.

سیگنال تحلیلی- واهمامیخت اویلر سبب تأثیر بیشتر نویفه‌ها روی نتایج حاصل از این روش در برآورد شکل چشمۀ ایجاد بی‌هنجری شده است.

بررسی نتایج عرضه شده، به پیشنهاد استفاده از روش ترکیبی حاصل از هر دو روش، اعمال روش گرادیان افقی سیگنال تحلیلی در ابتدا بهمنظور یافتن مقادیر دقیق تر شاخص ساختاری (شکل چشمۀ) و مکان افقی و استفاده از روش ترکیبی سیگنال تحلیلی- واهمامیخت اویلر به دنبال آن برای تعیین عمق چشمۀ ایجاد بی‌هنجری مغناطیسی، منجر می‌شود، که می‌تواند بهمثابه روشی کارا با دقیقی مناسب برای داده‌های نیم‌رخی، یا در حکم روشی کمکی برای داده‌های شبکه‌ای (بررسی نیم‌رخ‌های موردنی) در تفسیر ساختارهای زمین‌شناسی به کار گرفته شود.

تشکر و قدردانی

از آقای جمال‌الدین بنی‌عامریان برای همکاری و راهنمایی‌های علمی، تشکر و قدردانی می‌شود.

منابع

بنی‌عامریان، ج.، ۱۳۸۸، روش ترکیبی سیگنال تحلیلی- واهمامیخت اویلر (AN-EUL) در تفسیر داده‌های مغناطیسی، پایان‌نامه کارشناسی ارشد ژئوفیزیک، مؤسسه ژئوفیزیک دانشگاه تهران.

بنی‌عامریان، ج. و اسکویی، ب.، ۱۳۹۰، ترکیب روش‌های سیگنال تحلیلی و واهمامیخت اویلر (AN-EUL) برای